

I] Structure du composé FeSn

1) réseau hexagonal

2) 3 atomes de Fer $\text{Fe}(\frac{1}{2}, 0, 0); \text{Fe}(0, \frac{1}{2}, 0); \text{Fe}(\frac{1}{2}, \frac{1}{2}, 0)$

3 atomes d'étain $\text{Sn}(0, 0, 0); \text{Sn}(\frac{1}{3}, \frac{2}{3}, \frac{1}{2}); \text{Sn}(\frac{2}{3}, \frac{1}{3}, \frac{1}{2})$

3) $\|\vec{a}\| = \|\vec{b}\| = 2d$ $\vec{a}(d, d\sqrt{3}, 0)$ $\vec{b}(d, d\sqrt{3}, 0)$

4) RR hexagonal

$$\left. \begin{aligned} \vec{a}^* \cdot \vec{a} &= a_x^* d + a_y^* d\sqrt{3} = 2\pi \\ \vec{a}^* \cdot \vec{b} &= a_x^* d + a_y^* d\sqrt{3} = 0 \end{aligned} \right\} \vec{a}^*\left(\frac{\pi}{d}; -\frac{\pi}{d\sqrt{3}}; 0\right); \vec{b}^*\left(\frac{\pi}{d}; \frac{\pi}{d\sqrt{3}}; 0\right); \vec{c}^* = \frac{2\pi}{c} \vec{z}$$

$$\|\vec{a}^*\| = \|\vec{b}^*\| = 2\pi/d\sqrt{3}$$

$$5) G_{hkl}^2 = h^2 a^{*2} + k^2 b^{*2} + 2hk \vec{a}^* \cdot \vec{b}^* + l^2 c^{*2} = \frac{4\pi^2}{3d^2}(h^2 + k^2) + 2hk \frac{2\pi^2}{3d^2} + \frac{4\pi^2}{c^2} l^2$$

$$\Rightarrow G_{hkl} = \frac{2\pi}{d\sqrt{3}} \sqrt{h^2 + k^2 + hk + \frac{3d^2}{c^2} l^2}$$

$$6) S_{hkl} = b_{\text{Sn}} \left(1 + e^{2\pi i \left(\frac{h}{3} + \frac{2k}{3} + \frac{l}{2} \right)} + e^{2\pi i \left(\frac{2h}{3} + \frac{k}{3} + \frac{l}{2} \right)} \right) + b_{\text{Fe}} \left(e^{i\pi h} + e^{i\pi k} + e^{i\pi(h+k)} \right)$$

$I_{hkl} \propto |S_{hkl}|^2$; pas d'extinctions systématiques

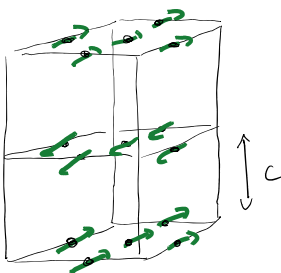
7) Diffraction ssi $\vec{q} = \vec{k}_f - \vec{k}_i$ le vecteur de diffusion $\in \text{RR}$

$$\Rightarrow q = \frac{4\pi}{\lambda} \sin \theta = G_{hkl} \Rightarrow \sin \theta = \frac{\lambda}{2d\sqrt{3}} \sqrt{h^2 + k^2 + hk + \frac{3d^2}{c^2} l^2}$$

$$8) \sin \theta_{110} = \frac{\lambda}{2d} ; 2\theta_{110} \approx 21.9^\circ \Rightarrow d \approx 2.67 \text{ \AA}$$

$$\sin \theta_{002} = \frac{\lambda}{c} ; 2\theta_{002} \approx 26.5^\circ \Rightarrow c \approx 4.43 \text{ \AA}$$

9) Structure ferromagnétique dans le plan (\vec{a}, \vec{b}) (maille inchargée)
et antiferromagnétique selon \vec{c} (doublement de la maille dans cette direction)



II Susceptibilité Magnétique

1) Chaque atome de Fer a 4 premiers voisins équivalents dans le même plan (1^{er} terme de \mathcal{H}) et 2 voisins équivalents juste au dessus et juste en dessous (2^e terme).

En supposant un échange direct, J_{ij} décroît rapidement avec la distance Fe-Fe et on peut donc penser que $|J'| < |J|$.

(les échanges avec les voisins encore plus éloignés sont encore plus faible et on les néglige.)

$$\begin{aligned} 2) \mathcal{H}_i &= \left(- \sum_j 2J_{ij} \vec{S}_j - \sum_k 2J_{ik} \vec{S}_k + g\mu_B \vec{B}_a \right) \cdot \vec{S}_i \\ &= - (-g\mu_B \vec{S}_i) \cdot \left[\frac{1}{g\mu_B} \left(-2J \sum_j \vec{S}_j - 2J' \sum_k \vec{S}_k \right) + \vec{B}_a \right] \\ &= - \vec{\mu}_i \cdot \vec{B}_i \end{aligned}$$

$$3) \vec{B}_m = - \frac{4\langle \vec{S} \rangle}{g\mu_B} (2J + J') + \vec{B}_a$$

$$4) \vec{B}_m = \frac{4\vec{M}}{ng^2\mu_B^2} (2J + J') + \vec{B}_a \quad \Rightarrow \quad \lambda = \frac{4(2J + J')}{ng^2\mu_B^2}$$

5) M_s est l'aimantation maximale ("aimantation à saturation") atteinte lorsque tous les moments sont parfaitement alignés $\Rightarrow M_s = n \times \underbrace{g\mu_B S}_{\mu}$

$$\begin{aligned} 6) M &\approx n \frac{S+1}{3S} \times \frac{g^2\mu_B^2 S^2}{k_B T} (B_a + \lambda M) = CH_a + \frac{\lambda C}{\mu_0} M \quad \text{avec} \quad C = \mu_0 \frac{g^2\mu_B^2 S(S+1)}{3k_B} \\ \Rightarrow M &= \chi H_a = \frac{C}{T - \Theta} H_a ; \quad \Theta = \frac{C\lambda}{\mu_0} = \frac{4(2J + J') S(S+1)}{3k_B} \end{aligned}$$

7) $\Theta = 173K > 0 \Rightarrow 2J + J' > 0 \Rightarrow$ l'interaction totale est de nature ferromagnétique

8) $J' < 0$ (AF) et $J > 0$ (F) (sinon $\Theta < 0$ car $|J| > |J'|$)

correspond bien à une structure magnétique F dans le plan, AF de plan à plan.

III Structure de bandes

$$1) \psi_{\vec{k}}(\vec{r} + \vec{R}_{mn}) = e^{i\vec{k} \cdot \vec{R}_{mn}} \psi_{\vec{k}}(\vec{r}) \quad \forall \vec{R}_{mn} \in \text{Reseau Direct}$$

$$\rightarrow \alpha_{mn} = e^{i\vec{k} \cdot \vec{R}_{mn}} \alpha_{00} ; \beta_{mn} = e^{i\vec{k} \cdot \vec{R}_{mn}} \beta_{00} ; \gamma_{mn} = e^{i\vec{k} \cdot \vec{R}_{mn}} \gamma_{00}$$

2) $H(\psi_{\vec{k}}) = E \psi_{\vec{k}}$; en projetant successivement sur ϕ_{00}^A , ϕ_{00}^B et ϕ_{00}^C :

$$\begin{cases} -t(\beta_{00} + \beta_{-1,0}) - t(\gamma_{00} + \gamma_{-1,-1}) = -t(1 + e^{-i\vec{k} \cdot \vec{a}})\beta_{00} - t(1 + e^{-i\vec{k} \cdot (\vec{a} + \vec{b})})\gamma_{00} = E \alpha_{00} \\ -t(\alpha_{00} + \alpha_{1,0}) - t(\gamma_{00} + \gamma_{0,-1}) = -t(1 + e^{i\vec{k} \cdot \vec{a}})\alpha_{00} - t(1 + e^{i\vec{k} \cdot \vec{b}})\gamma_{00} = E \beta_{00} \\ -t(\alpha_{00} + \alpha_{1,1}) - t(\beta_{00} + \beta_{0,1}) = -t(1 + e^{i\vec{k} \cdot (\vec{a} + \vec{b})})\alpha_{00} - t(1 + e^{i\vec{k} \cdot \vec{b}})\beta_{00} = E \gamma_{00} \end{cases}$$

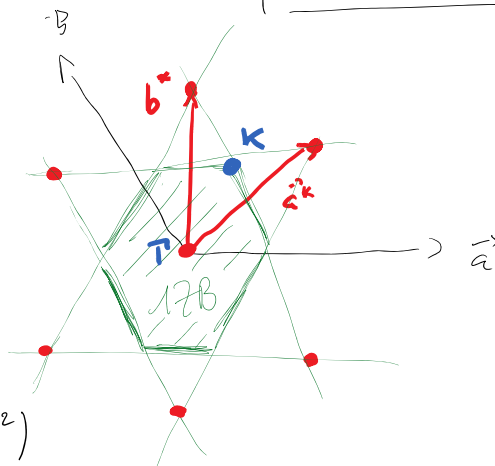
solution non nulle ssi le déterminant s'annule

$$\begin{vmatrix} E' & 1 + e^{-i\vec{k} \cdot \vec{a}} & 1 + e^{-i\vec{k} \cdot (\vec{a} + \vec{b})} \\ 1 + e^{i\vec{k} \cdot \vec{a}} & E' & 1 + e^{-i\vec{k} \cdot \vec{b}} \\ 1 + e^{i\vec{k} \cdot (\vec{a} + \vec{b})} & 1 + e^{i\vec{k} \cdot \vec{b}} & E' \end{vmatrix} = 0$$

$$\begin{cases} p_1 = 1 + e^{-i\vec{k} \cdot \vec{a}} \\ p_2 = 1 + e^{-i\vec{k} \cdot (\vec{a} + \vec{b})} \\ p_3 = 1 + e^{-i\vec{k} \cdot \vec{b}} \end{cases}$$

$$3) \vec{a} = (d, -d\sqrt{3}, 0) ; \vec{b} = (d, d\sqrt{3}, 0)$$

$$\vec{a}^* = \left(\frac{\pi}{d}, -\frac{\pi}{d\sqrt{3}}, 0\right) ; \vec{b}^* = \left(\frac{\pi}{d}, \frac{\pi}{d\sqrt{3}}, 0\right)$$



4) Pour $\vec{k} \approx \vec{0}$ (point Γ)

$$\begin{aligned} \bar{p}(\vec{k}) &\approx 4 - \frac{(\vec{k} \cdot \vec{a})^2}{2} - \frac{(\vec{k} \cdot \vec{b})^2}{2} - \frac{[\vec{k} \cdot (\vec{a} + \vec{b})]^2}{2} \\ &\approx 4 - \frac{d^2}{2} \left((k_x - k_y\sqrt{3})^2 + (k_x + k_y\sqrt{3})^2 + 4k_x^2 \right) \\ &\approx 4 - \frac{d^2}{2} (2k_x^2 + 2 \times 3k_y^2 + 4k_x^2) \\ &\approx 4 - 3d^2 k^2 \end{aligned}$$

$$\Rightarrow \begin{cases} \varepsilon_{1,2}(\vec{k}) \approx -t \left[1 \pm \sqrt{9 - 6d^2 k^2} \right] \\ \approx -t \left[1 \pm 3\sqrt{1 - 2d^2 k^2/3} \right] \end{cases} \quad \begin{cases} \varepsilon_1(\vec{k}) \approx -4t + t d^2 k^2 \\ \varepsilon_2(\vec{k}) \approx 2t - t^2 d^2 k^2 \end{cases}$$

\Rightarrow bandes isotropes, paraboliques près de Γ avec $m_1^* = \frac{\hbar^2}{2td^2}$; $m_2^* = -\frac{\hbar^2}{2td^2}$

$$5) -2 < p(\vec{k}) \leq 4 \quad \Rightarrow \quad \varepsilon_1 \geq -4t \quad \text{et} \quad \varepsilon_2 \leq 2t$$

$$\Rightarrow 0 \leq \sqrt{1 + 2p(\vec{k})} \leq 3 \quad \varepsilon_1(\vec{k}=0) \text{ et } \varepsilon_2(\vec{k}=0) \text{ sont bien des extrema}$$

$$6) \rho_i(\epsilon) d\epsilon = \frac{2\pi k dk}{(2\pi)^2} \times \frac{2\pi \hbar^2 k}{(2\pi)^2} = \frac{k dk}{\pi} \Rightarrow \rho_i(\epsilon) = \frac{m_i^*}{\pi \hbar^2 k} \Rightarrow \rho_i(\epsilon) = \frac{m_i^*}{\pi \hbar^2 k}$$

7) schéma

$$p(\vec{T}K) = 1 + \cos\left(\frac{2\pi}{3}\right) + \cos\left(\frac{2\pi}{3}\right) + \cos\left(\frac{4\pi}{3}\right) = -\frac{1}{2}$$

$$\Rightarrow \epsilon_1(\vec{T}K) = \epsilon_2(\vec{T}K) = -t$$

et $\epsilon_1(\vec{K}) \leq -t$ et $\epsilon_2(\vec{K}) \geq -t$ d'après leurs expressions; elles sont donc touches 2 extrémales en \vec{T}

avec la question 5) \Rightarrow largeur de la bande $\epsilon_1 = -t - (-t) = 3t$
 $\epsilon_2 = +t - (-t) = 3t$

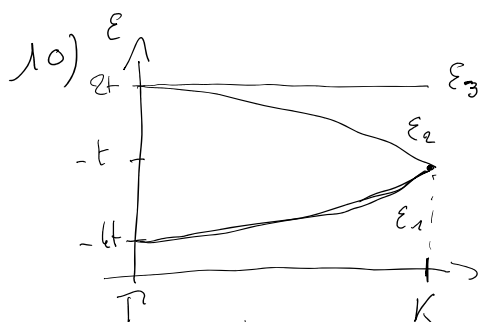
$$8) \vec{k} = \frac{\vec{a}^* + \vec{b}^*}{3} + \epsilon_x \vec{x} + \epsilon_y \vec{y}$$

$$\begin{aligned} p(\vec{k}) &= 1 + \cos\left(\frac{2\pi}{3} + d\epsilon_x - d\sqrt{3}\epsilon_y\right) + \cos\left(\frac{2\pi}{3} + d\epsilon_x + d\sqrt{3}\epsilon_y\right) + \cos\left(\frac{4\pi}{3} + 2d\epsilon_x\right) \\ &= 1 - \frac{1}{2} \left[1 - \frac{d^2}{2}(\epsilon_x - \epsilon_y\sqrt{3})^2\right] - d(\epsilon_x - \sqrt{3}\epsilon_y)\frac{\sqrt{3}}{2} - \\ &\quad - \frac{1}{2} \left[1 - \frac{d^2}{2}(\epsilon_x + \epsilon_y\sqrt{3})^2\right] - d(\epsilon_x + \sqrt{3}\epsilon_y)\frac{\sqrt{3}}{2} \\ &\quad - \frac{1}{2} \left[1 - 4d^2\epsilon_x^2\right] + 2d\epsilon_x\frac{\sqrt{3}}{2} \\ &= -\frac{1}{2} + \frac{d^2}{4}(2\epsilon_x^2 + 6\epsilon_y^2 + 4\epsilon_x\epsilon_y) \end{aligned}$$

$$p(\vec{k}) \approx -\frac{1}{2} + \frac{3d^2}{2} \|\vec{k} - \vec{T}K\|^2 \Rightarrow \sqrt{1+p(\vec{k})} \approx d\sqrt{3} \|\vec{k} - \vec{T}K\|$$

$$\Rightarrow \begin{cases} \epsilon_1(\vec{k}) \approx -t - dt\sqrt{3} \|\vec{k} - \vec{T}K\| \\ \epsilon_2(\vec{k}) \approx -t + dt\sqrt{3} \|\vec{k} - \vec{T}K\| \end{cases} \quad v_F = dt\sqrt{3} \approx \text{graphène}$$

9) largeur bande 3 = 0 ; $\rho_j(\epsilon) \approx \delta(\epsilon - 2t)$; états localisés dans l'espace direct (pas de dispersion en \vec{k})



11) N atomes \Rightarrow N OA \Rightarrow 2N états électroniques $\Rightarrow \frac{2N}{3}$ états / bande

12) N électrons dans 2N états = 1/2 remplissage $\Rightarrow \epsilon_1$ pleine, ϵ_2 demi-remplie ($\frac{2N}{3} + \frac{N}{3}$) ϵ_F au milieu de la bande 2 - Métal

13) On détecte l'énergie or le vecteur d'onde des électrons photoémis $\Rightarrow \epsilon(\vec{k})$ | on voit ϵ_2 et ϵ_3 proches de \vec{T}
 $\epsilon_2(k=0.5) \approx 0.6\text{eV} \Rightarrow t \approx 0.17\text{eV}$